

一种基于秘密分享的高质量(k,n)可视加密算法 *

丁海洋^{1,2}

(1. 北京印刷学院 信息工程学院, 北京 102600; 2. 北京邮电大学 信息安全中心, 北京 100876)

摘要: (k, n)可视加密算法是一种重要的信息隐藏算法。应用 Shamir 秘密分享的概念, 将一幅二进制秘密图像隐藏在 n 幅分享图像中, 通过在分享过程中增加随机性控制, 保证生成的分享图像是接近噪声图像的无意义图像。从 n 幅无意义分享图像中, 任意选取 k 幅分享图像, 使用拉格朗日插值可提取秘密图像。该算法应用 Shamir 秘密分享来实现 (k, n)可视加密, 不需要码书, 不会造成无限制的像素扩展。实验结果显示, 该算法能实现 (k, n)可视加密, 提取秘密图像的提取正确率能保证 100%。

关键词: Shamir 秘密分享; (k, n)可视加密; 拉格朗日插值

中图分类号: TP309.2 **doi:** 10.3969/j.issn.1001-3695.2017.12.1044

High quality (k,n) visual cryptography based on secret sharing

Ding Haiyang^{1,2}

(1. College of Information Engineering, Beijing Institute of Graphic Communication, Beijing 102600, China; 2. Information Security Center, Beijing University of Posts & Telecommunications, Beijing 100876, China)

Abstract: (K, n) visual cryptography is an important data hiding algorithm. Using Shamir's secret sharing, a binary secret image can be shared into n meaningless shares, in order to make the generated shares more like noise images, adding the randomness within the process of sharing. Picking any k shares from n meaningless shares, the secret image can be revealed by using Lagrange interpolation. This paper applied Shamir's secret sharing to realize a (k, n) visual cryptography, and this method neither required code book nor suffers from pixel expansion. Experimental results show the proposed method can realize a (k, n) visual cryptography, and correct decoding rate (CDR) of revealed secret image can be guaranteed.

Key words: Shamir's secret sharing; (k,n) visual cryptography; Lagrange interpolation

0 引言

可视加密(VC)的概念最早出现在 Naor 和 Shamir 的文献[1]中。这里提出一个(k,n) VC 的概念, 即将一幅秘密图像隐藏在 n 幅图像中, 任意取得 k 幅图像, 则可提取出秘密图像。在文献[2,3]中提出扩展可视加密的算法; Hou 等人[4]提出一种友好的可视加密, 将秘密图像隐藏在两幅图像中; Yan 等人[5]提出一种基于纠错码的信息隐藏算法。以上算法[1-5]都属于基于像素扩展的可视加密, 这类算法实现简单, 并可产生无意义的分享图像, 但是它的主要缺点是像素扩展和需要码书, 随着用户数的增加, 分享图像的分辨率将会被扩大很多倍。

基于随机网络的可视加密, 即采用随机网络技术产生无意义分享图像, 不会造成像素扩展。Kafri 等人[6]给出随机网络的最初概念, 并提出三种信息隐藏的方法。Chen 等人[7]提出(2,n)情况下的基于随机网络的可视加密; Chen 等人在文献[8]中提出(k,n)情况下的基于随机网络的可视加密。文献[9,10]则描述基于随机网络的可视加密的通用形式。Ou 等人[11]提出一种基于随

机网络的标签可视加密。Yan 等人[12]提出一种基于随机网络的可视秘密分享算法, 该算法采用通用接口结构和多重解密。Rabari 等人[13]提出扩展的(2,m,n)随机网络可视加密算法, 该算法可以应用到灰度和彩色图像。基于随机网络的可视加密[6-13], 主要优点是不需要码书, 不会造成像素扩展, 可以生成无意义分享图像; 但是这类算法的主要缺点是提取的秘密图像对比度太低, 很多情况下对比度低于 1/10, 很难提取出一幅清晰的秘密图像。

近年来, 基于图像分块的可视加密逐渐称为一个新的研究方向。Hou 等人[14]提出一种基于图像分块的(2,n)可视加密算法, 一幅秘密图像可以被分解为 n 个不相重叠的图像块, 基于这些图像块生成 n 幅分享图像, 只要获取任意 k(2≤k≤n)个分享, 则可提取出部分图像块。但是 Hou 等人的算法[14]可能会发生欺骗问题。Hou 等人[15]提出一种欺骗免疫的基于图像分块的(2,n)可视加密算法。另外, Roy 等人[16]提出一种(3,4)秘密图像分享, 将秘密图像中每个 2×2 的图像块, 分解为 4 种组合, 分享到 4 个分享图像中, 只要获取任意 3 个分享, 则可恢复出秘密图像。

收稿日期: 2017-12-21; **修回日期:** 2018-03-23 **基金项目:** 北京市教委科研计划一般项目(KM201610015002); 国家自然科学基金资助项目(61370188); 北京市教委科研计划重点项目(KZZ201710015010); 科技创新服务能力建设-科研水平提高定额项目(PXM2017_014223_000063)

作者简介: 丁海洋 (1979-), 男, 黑龙江哈尔滨人, 讲师, 博士, 主要研究方向为信息隐藏、半色调信息隐藏、数字图像处理(o_dhy@163.com)。

基于图像分块的可视加密^[14-16]，主要优点是不需要码书和计算复杂度低，并能产生无意义分享图像；但是其主要缺点是，k 个分享只能恢复秘密图像的一部分，假如 n 的数目发生变化，需要对秘密图像进行重新分块。

通过表 1 列出各类可视加密算法的比较。

表 1 不同可视加密 (VC) 算法的对比

算法名称和参考文献	优点 (+)	缺点 (-)
基于像素扩展的 VC ^[1-5]	+ 低计算复杂度	- 像素扩展 - 需要码书
基于随机网格的 VC ^[6-13]	+ 没有像素扩展 + 不需要码书	- 提取秘密图像的对比度太低 - 很难提取清晰的秘密图像 - k 个分享只能恢复部分秘密图像
基于图像分块的 VC ^[14-16]	+ 不需要码书 + 低计算复杂度	- 假如 n 的数目发生变化，需要对秘密图像进行重新分块。

本文的目标是研究一种高质量(k,n)可视加密算法，该算法不需要码书，不会造成无限制的像素扩展。本文使用 Shamir 秘密分享的概念为基础，一个秘密数据 D 可分享为 n 块数据，任意选取 n 块数据，则可以恢复数据 D。

本文提出一种基于 Shamir 秘密分享的高质量(k,n)可视加密算法。使用该算法，将一幅二进制秘密图像隐藏在 n 幅分享图像中，通过在分享过程中增加随机性控制，保证生成的分享图像是接近噪声图像的无意义图像。从 n 幅无意义分享图像中，任意选取 k 幅分享图像，使用拉格朗日插值可提取秘密图像。

1 Shamir 秘密分享

在 Shamir 的文献[17]中，提出一种(k,n)门限秘密分享算法。将一个秘密信息 D，生成 n 个分享数据 D_1, \dots, D_n ，从这 n 个分享中，任意取得 k 个数据，可计算得到原始数据 D。具体过程：

定义一个 k-1 次多项式 $q(x)$ ，如式 (1) 所示。另 $a_0=D$ ，任意选取系数 a_1, \dots, a_{k-1} ，对 n 个输入值 x_1, \dots, x_n ，分别计算 $D_1=q(x_1), \dots, D_n=q(x_n)$ ，可产生 n 组分享数据 $(x_1, D_1), \dots, (x_n, D_n)$ ，只要获取 k 组分享数据，可通过计算拉格朗日插值得到秘密数据 D。

$$q(x) = a_0 + a_1x + a_2x^2 + a_3x^3 + \dots + a_{k-1}x^{k-1} \quad (1)$$

需要注意四个问题：

- 选择一个素数 p， D, a_1, \dots, a_{k-1} 和 n 的数据范围都是 $[0, p)$ ；
- 分享数据 x_i 和 y_i 的数据范围也在 $[0, p)$ ，所以计算 y_i 时需要 mod p；
- 如果秘密数据 D 很大，可将数据 D 分为多个 mbit 构成的分块数据；

d)对不同的秘密数据 D，可使用不同多项式生成分享数据。

2 使用 Shamir 秘密分享实现秘密图像分享

参考 Shamir 秘密分享^[17]，一幅秘密图像不能直接作为一个秘密数据，必须先被分解为多个 mbit 分块。每个 mbit 的分块作为一个秘密数据 D，使用一个 k-1 次的多项式 $f(x)$ ，另 $a_0=D$ ，分别计算 $y_i=f(x_i)$ ，产生 n 组分享数据 $(x_1, y_1), \dots, (x_n, y_n)$ ，将 n 组分享数据分别存到 n 幅分享图像的对应位置。在整幅秘密图像上完成以上分享过程后，可生成 n 幅分享图像。

但是，实现这个分享过程中，需要注意以下三个问题：

- 数据位数 m 的选择；
- 主要数据的范围；
- 增加随机性控制。

2.1 数据位数 m 的选择

将 mbit 数据作为一个秘密数据 D，则 D 的范围是 $[0, 2^m-1]$ ，用户数目 n 需要小于等于 2^m-1 。那么，如何选择数据位数 m 呢？

从安全角度，数据位数越大越安全，但由于半色调信息隐藏中，存在一定误码，如果数据位数 m 太大，会造成整体秘密图像的误码率太高；如果数据位数 m 太小，则可容纳的用户数 n 会很小。所以，在本文中，选择数据位数 $m=4$ ，即每 4bit 数据为一个秘密数据 D，则 D 的范围是 $[0, 15]$ 。

2.2 主要数据的范围

- 因为 $m=4$ ，所以 a_0 范围为 $[0, 15]$ ；
- p 是一个素数，而且 $p > 2^m-1$ ，所以 $p=17$ ；
- x_i 的范围是 $[0, 15]$ ，但是 $x_i=0$ 时， $y_i=a_0$ ，表示 a_0 没有被隐藏，因此 $x_i \neq 0$ ，所以 x_i 范围为 $[1, 15]$ ；
- y_i 的范围是 $[0, 15]$ ；
- 用户数目 n 小于等于 15，k 则小于 n。

2.3 无随机性控制下的秘密图像分享

2.3.1 无随机性控制下的秘密图像分享过程

结合 2.1 和 2.2 节给出无随机性控制下的秘密图像分享流程，如图 1 所示，通过分享过程，可将一幅秘密图像 S 分享为 n 幅无意义分享图像。具体流程如下：

- 生成一个 k-1 次多项式 $f(x)$ 。
- 使用多项式 $f(x)$ 生成多组可选数据，并选择可用数据。
(a)由 2.2 节已知， a_0 范围为 $[0, 15]$ ， x_i 的范围为 $[1, 15]$ ， y_i 的范围为 $[0, 15]$ ，且 $p=17$ 。
(b)使用式 (2)，分别带入 x_i 的 15 个值，计算生成 15 组数据 (x_i, y_i) 。

$$y = (a_0 + a_1x + a_2x^2 + a_3x^3 + \dots + a_{k-1}x^{k-1}) \bmod p \quad (2)$$

- 因为数据位数 $m=4$ ，需要使用式(3)去除 $y_i=16$ 的数据：

$$\begin{cases} (x_i, y_i) \text{ 可用} & y_i \neq 16 \\ (x_i, y_i) \text{ 不可用} & y_i = 16 \end{cases} \quad (3)$$

(d)对可用数据,使用式(4)计算 $NumofOne_i$ 。 $NumofOne_i$ 表示第 i 组数据 (x_i, y_i) 中比特值为 1 的数目,将可用数据根据 $[NumofOne_i-4]$ 的数值从小到大排序,选择前 n 组数据,作为分享数据。排序的目的:在可用数据中优先选择 0 和 1 数目相等的数据,这样生成的分享图像更接近于无意义图像。

(e)通过以上过程,得到的数据结构形式: $array(a_0, x_i, y_i)$, 其中 $i=1:n$, 表示对每个 a_0 值对应的 n 组分享数据 (x_i, y_i) 。

$$NumofOne_i = \sum_{b=0}^3 getbit(x_i, b) + \sum_{b=0}^3 getbit(y_i, b) \quad (4)$$

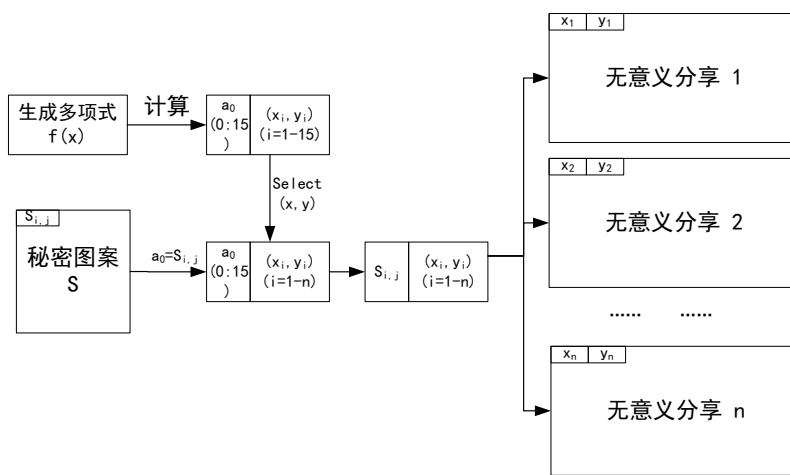


图1 无随机性控制下的秘密分享过程

2.3.2 秘密图像分享的实现效果

图2为秘密图像S,图像分辨率均为256×256。

使用2.3.1节中的方法,以图2(a)为秘密图像S,实现(3,4)分享模型,即将秘密图像S分享到4幅分享图像中,获取任意3幅分享图像,则可恢复秘密图像S。具体过程如下:

BUPT **BIGC**
BUPT **BIGC**

(a) BUPT

(b) BIGC

图2 秘密图像S

a) 生成一个二次多项式,设 $a_1=1, a_2=2$, 则多项式 $f(x)=a_0+1*x+2*x^2$;

b) 使用 $f(x)$ 生成可用数据数组: $array(a_0, x_i, y_i)$;

c) 将秘密图像S分解为 64×256 组 4bit 数据,使用式(5)计算 S_{ij} ;

d) 另 $a_0=S_{ij}$, 从 b) 中的 array 数组中找到当前 a_0 值对应的 4 组数据 (x_i, y_i) , 将 4 组数据分享到 4 个分享图像对应位置。

由于秘密图像S是 256×256 , 每组 4 bit 数据 B_{ij} 生成 4 组分享数据 (x_i, y_i) , 每组 (x_i, y_i) 共 8 bit, 所以分享后的图像分辨率为 512×256 。

c) 秘密图像S分辨率为 $W \times H$, 将S分解为 $W/4 \times H$ 组 4bit 数据, 每组 4 bit 数据 B_{ij} 作为一个秘密数据D, 其中 $i=0:(W/4-1)$, $j=0:(H-1)$, 使用式(5)计算 B_{ij} 对应的秘密数据值 S_{ij} 。

$$S_{i,j} = \sum_{b=0}^3 B_{i,j}(b) \times 2^b \quad (5)$$

d) 另 $a_0=S_{ij}$, 从 b) 中的 $array(a_0, x_i, y_i)$ 数组中找到当前 a_0 值对应的 n 组数据 (x_i, y_i) , 将 n 组数据分享到 n 个分享图像对应位置, 即将 (x_i, y_i) 分解为 8bit 二进制数, 生成第 i 个分享图像对应位置的像素。

e) 通过上述过程, 将一幅秘密图像S分享为 n 幅无意义分享图像, 每幅分享图像分辨率为 $2W \times H$ 。

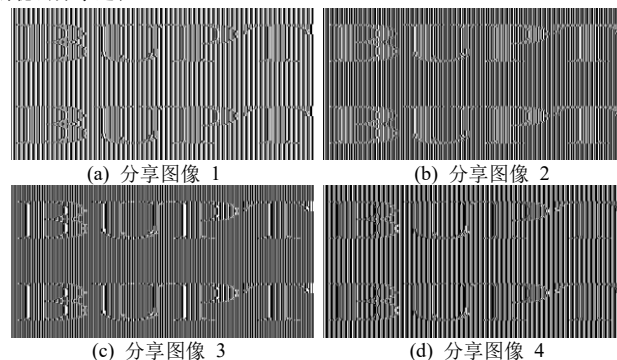
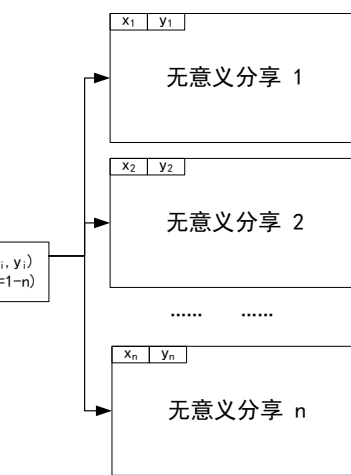


图3 无随机控制下4幅分享图像

通过上述过程,生成4幅分享图见图3。从图3可看出,分享效果不好,能看出秘密图像,达不到秘密隐藏的要求。

2.3.3 原因分析

在上面的分享过程中存在三方面的规律性:

a) 如果秘密图像S中数据变化较少,且有规律,会造成很多连续相同的 a_0 , 例如: 连续的 $a_0=15$, 连续的 $a_0=0$, 且 a_0 的变化会反映秘密图像的变化;

b) 用相同 $f(x)$ 和相同 a_0 值, 生成的 4 个分享数据必然相同;

c) 4 组分享数据存放到 4 幅分享图像的顺序固定。

由于这三方面的规律性,造成图3中分享图像的问题。a) 中的规律性由秘密图像S造成,不能进行人为控制; b) 和 c)

中的规律性都是由算法设计造成，可通过增加随机性控制来改进。

2.4 秘密分享过程中增加随机性控制

2.4.1 随机性控制的选择

根据 2.3.3 节中的分析，可通过三方面增加随机性控制：

a) 使用多个生成多项式，不同的秘密数据使用不同多项式；

b) 每个多项式针对每个 a_0 ，生成超过 n 组的可用数据，从中任选 n 组数据作为分享数据；

c) 增加分享数据存放的随机性，使得分享数据存放顺序不固定。

2.4.2 增加随机性控制

在分享过程中增加随机性控制，包括三个方面：

a) 使用多个多项式。初始化 pm 个 $k-1$ 次多项式 $f_1(x), \dots, f_{pm}(x)$ ，每组 4 bit 秘密数据 D ，可随机选择多项式 $f_i(x)$ ，另 $a_0=D$ 生成分享数据；

b) 生成多组分享数据。使用多项式 $f_i(x)$ 生成 $n+expnum$ 组分享数据，从 $n+expnum$ 组分享数据中选择 n 组分享数据，可有 $C_{n+expnum}^n$ 种组合；

c) 增加分享数据存放的随机性。在将 n 组数据存放到分享图像前，生成一个 $[0, (n-1)]$ 的随机数 $cshift$ ，计算 $c_i = (i + cshift) \bmod n$ ，将第 i 组分享数据 (x_i, y_i) 存放到第 c_i 幅分享图像的对应位置。

增加上述随机性后，通过多项式生成的数据结构形式为：
 $array(pnum, a_0, x_i, y_i)$ ，表示第 $pnum$ 个多项式，与 a_0 值对应的 $n+expnum$ 组分享数据 (x_i, y_i) 。

2.4.3 实验效果

以图 2(a) 为秘密图像 S ，实现 (3,4) 分享模型，为对比实验效果，分别使用不同的随机性控制，生成的分享图像见图 4~6。

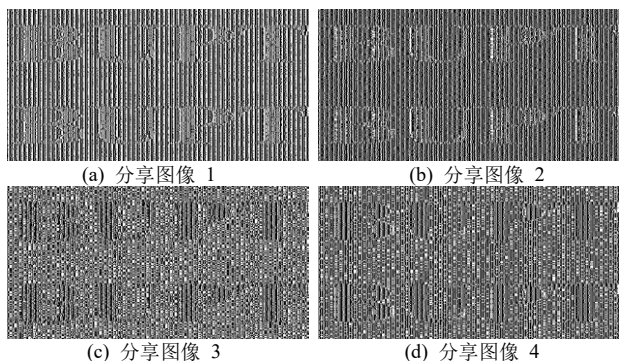


图 4 一个多项式和 $n+expnum$ 组实验数据生成的分享图像

图 4 中，仍采用一个多项式，生成 $n+expnum$ 组实验数据，其中 $n=4$ ， $expnum=2$ ，从中选择 n 组实验数据生成分享图

像。从图 4 可看出，增加实验数据的随机性，效果好一些，但仍能看出秘密图像的轮廓。

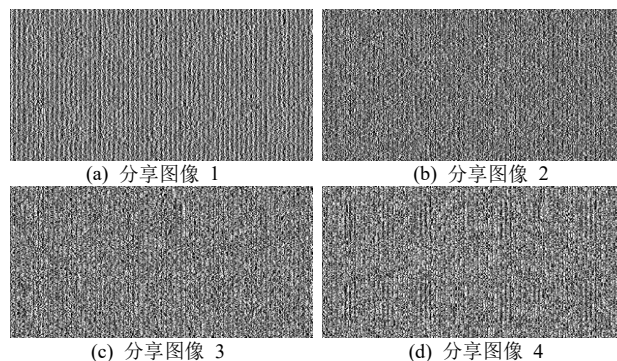


图 5 pm 个多项式和 $n+expnum$ 组实验数据生成的分享图像

图 5 中，采用 pm 个多项式，生成 $n+expnum$ 组实验数据，其中 $pm=6$ ， $n=4$ ， $expnum=2$ ，从中选择 n 组实验数据生成分享图像。从图 5 可看出，增加多项式随机性，分享图像中无法看出秘密图像，但 4 幅分享图像分布明显不均匀。

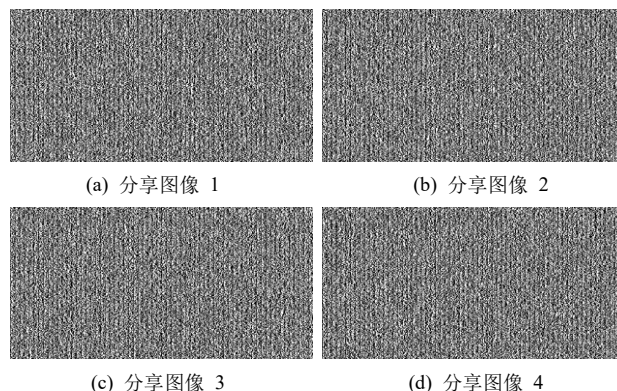


图 6 三种随机控制下生成的分享图像

图 6 中，采用 pm 个多项式，生成 $n+expnum$ 组实验数据，其中 $pm=6$ ， $n=4$ ， $expnum=2$ ，增加分享数据存放顺序随机性。图 6 可看出，增加分享数据存放顺序随机性，分享图像中不仅无法看出秘密图像，且 4 幅分享图像分布均匀。

通过上面的实验可以看出，通过上述三种随机性控制组合使用，实现分享图像效果最好。本文将在第 3 章给出将秘密图像生成 n 个分享图像的完整过程。

3 本文提出的算法

本文提出一种基于 Shamir 秘密分享的高质量(k,n)可视加密算法。使用该算法，将一幅二进制秘密图像分享为 n 幅无意义图像，从 n 幅分享图像中任意选取 k 幅分享图像，使用拉格朗日插值可提取秘密图像。

3.1 一幅秘密图像被分享为 n 幅无意义分享图像

基于第 2 章的内容，使用 Shamir 秘密分享，将一幅秘密图像 S 分享为 n 幅无意义分享图像，实现流程见图 7。主要包括：

a) 生成 pm 个 $k-1$ 次多项式 $f_1(x), \dots, f_{pm}(x)$ 。

b) 使用每个多项式 $f_i(x)$ ($i=1:pm$) 针对每个 a_0 值生成并选择可用分享数据。

(a) 由 2.2 已知, a_0 范围为 $[0,15]$, x_i 的范围为 $[1,15]$, y_i 的范围为 $[0,15]$, 且 $p=17$ 。

(b) 使用式 (2), 分别带入 x_i 的 15 个值, 计算生成 15 组数据 (x_i, y_i) 。

(c) 数据位数 $m=4$, 使用式 (3) 去除 $y_i=16$ 的数据。

(d) 对可用数据, 使用式 (4) 计算 $NumofOne_i$, 将有效数据根据 $|NumofOne_i-4|$ 的数值从小到大排序, 选择前 $n+expnum$ 组数据, 作为分享数据。

(e) 通过以上过程, 得到的数据结构形式: $array(pnum, a_0, x_i, y_i)$, 其中 $pnum=1:pm$, $a_0=0:15$, $i=1:(n+expnum)$ 。图 7 中简写为 $i=1:(n+p)$, 表示第 $pnum$ 个多项式对应当前 a_0 值有 $n+expnum$ 组分享数据 (x_i, y_i) 。

c) 秘密图像 S 分辨率为 $W \times H$, 将 S 分解为 $W/4 \times H$ 组 4bit

数据, 每组 4 bit 数据 $B_{i,j}$ 作为一个秘密数据 D , 使用式 (5) 计算 $B_{i,j}$ 对应的秘密数据值 $S_{i,j}$ 。

d) 另 $a_0=S_{i,j}$, 从 b) 中的 $array(pnum, a_0, x_i, y_i)$ 数组中选择某个多项式下当前 a_0 值对应的 n 组数据 (x_i, y_i) , 将 n 组数据分享到 n 个分享图像对应位置, 并增加随机性控制, 包括三个部分:

(a) 生成一个 $[1,pm]$ 的随机整数 r , 分享数据将从数组 $array(r, a_0, x_i, y_i)$ 中选择, 这时 i 的范围是 $[1, n+expnum]$;

(b) 从 $n+expnum$ 组可选数据中, 任意选择 n 组数据作为分享数据, 分享数据数组仍然是 $array(r, a_0, x_i, y_i)$, 但 i 的范围是 $[1, n]$;

(c) 生成一个 $[0, (n-1)]$ 的随机整数 $cshift$, 计算 $c_i = (i + cshift) \bmod n$, 将第 i 组分享数据 (x_i, y_i) 存放到第 c_i 幅分享图像的对应位置。

e) 通过上述过程, 将一幅秘密图像 S 分享为 n 幅无意义分享图像, 称为分享图像 1-n, 每幅分享图像分辨率为 $2W \times H$ 。

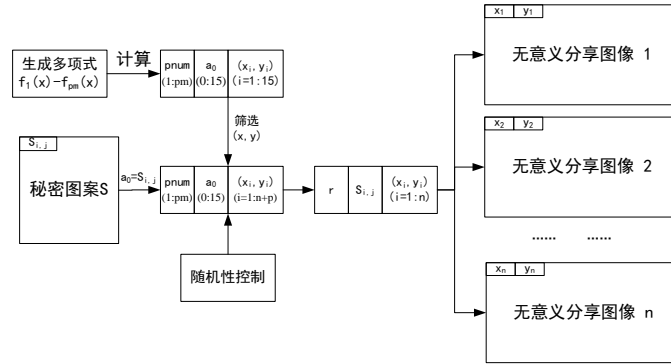


图 7 秘密图像 S 分享为 n 幅分享图像

3.2 从 n 幅分享图像中提取 Cn^k 幅秘密图像

从 n 幅分享图像中, 任选 k 幅图像, 使用拉格朗日插值提取秘密图像。从 n 幅图像中选择 k 幅图像, 会有 C_n^k 种情况, 一共可提取 C_n^k 幅秘密图像, 称为提取的秘密图像 $1-C_n^k$ 。提取过程见图 8。具体流程包括:

a) K 幅被选取的分享图像, 称为被选取的分享图像 1-k。

b) 设每幅分享图像分辨率为 $2W \times H$, 将每幅图像分解为 $W/4 \times H$ 组 8 bit 数据, 每组数据生成分享数据 (x_i, y_i) , 从 k 幅被选取的分享图像的对应位置共得到 k 组分享数据 $(x_i, y_i, i=1-k)$ 。

c) 将 k 组分享数据 (x_i, y_i) , 使用式 (6) 计算拉格朗日插值, 得到 a_0 。

$$a_0 = \left(\sum_{i=1}^k y_i \times \prod_{j=1, j \neq i}^k \frac{-x_j}{x_i - x_j} \right) \bmod p \quad (6)$$

d) 另 $S_{i,j}=a_0$, 用式 (7) 计算得到 4 bit 的 $B_{i,j}$, $B_{i,j}$ 为提取秘密图像对应位置的数据。

$$B_{i,j}(b) = \left(\frac{S_{i,j}}{2^b} \right) \bmod 2 \quad b = 0, 1, 2, 3 \quad (7)$$

e) 当上述过程在整个 k 幅被选取的分享图像上实施后, 可

提取一幅秘密图像 R_m , $m=1-C_n^k$ 。由于 k 组 8 bit 数据, 能生成提取的秘密数据为 4 bit, 而且被选取的分享图像为 $2W \times H$, 所以提取的秘密图像 R 分辨率为 $W \times H$ 。

f) 使用式 (8), 可计算提取的秘密图像 R_m 与原始秘密图像 S 的 CDR, R_m 和 S 的分辨率都是 $W \times H$ 。

$$CDR = \sum_{i=1}^H \sum_{j=1}^W [s(i, j) \oplus r(i, j)] / (W \times H) \quad (8)$$

4 算法分析与实验结果

4.1 正确性

4.1.1 由秘密图像生成 n 幅分享图像

a) 按照 3.1 节中的 a) b) 生成数据 $array(pnum, a_0, x_i, y_i)$, 表示 pm 个多项式对应每个 a_0 值有 $n+expnum$ 组分享数据 (x_i, y_i) ;

b) 将秘密图像 S 中每组 4 bit 数据构成秘密数据值 $S_{i,j}$, 另 $a_0=S_{i,j}$, 得到一个确定的 a_0 ;

c) 通过随机性控制, 获得 n 组分享数据 $array(r, a_0, x_i, y_i)$;

d) 将 n 组分享数据存放到第 c_i 幅分享图像的对应位置。

此过程的关键: 保证 n 组分享数据来自第 r 个多项式和确定的 a_0 值, 即来自于同一个多项式和相同 a_0 值。

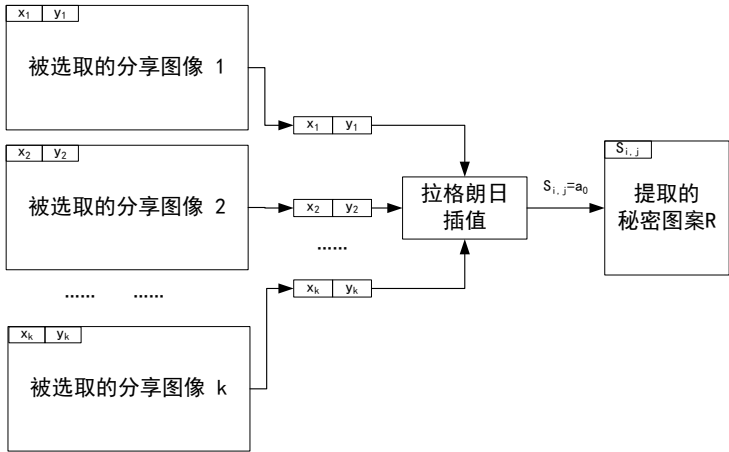


图 8 从分享图像中提取秘密图像

表 2 本文提出的可视加密算法与已有可视加密(VC)算法的对比

算法名称和参考文献	任意(k,n) VC (+)	无像素扩展 (+) / 存在像素扩展 (-)	提取图像的对比度
基于像素扩展的 VC [1-5]	+ 任意(k,n) VC	- 存在像素扩展, 随着用户数 n 增加, 分享图像会扩展很多倍	提取秘密图像的对比度较好
基于随机网格的 VC [6-13]	+ 任意(k,n) VC	+ 无像素扩展	提取秘密图像的对比度太低
基于图像分块的 VC [14-16]	- 当 n 变化时, 图像需要重新划分	+ 无像素扩展	K 个分享图像只能提取出部分秘密图像
本文提出的可视加密算法	+ 任意(k,n) VC	+ 分享图像固定为 2W×H, 不随用户数 n 增加而变化	所有提取分享图像的 CDR 为 100%

4.1.2 由分享图像提取秘密图像

- a) 从 n 幅分享图像中任意选取 k 幅分享图像;
- b) 从每幅分享图像对应位置获取 8 bit 数据, 生成分享数据 (x_i, y_i) , 共得到 k 组分享数据 $(x_i, y_i, i=1-k)$;
- c) 使用将 k 组分享数据, 使用式 (6) 计算拉格朗日插值, 得到 a_0 ;
- d) 将 a_0 转换为 4 bit 数据作为提取的秘密数据, 构成提取的秘密图像。

提取 a_0 正确性: k 组分享数据来自于同一多项式和相同的 a_0 值, 通过拉格朗日计算, 必然得到正确的 a_0 。

由于提取的每个 a_0 都正确, 提取的秘密图像必然正确。

4.2 实验结果

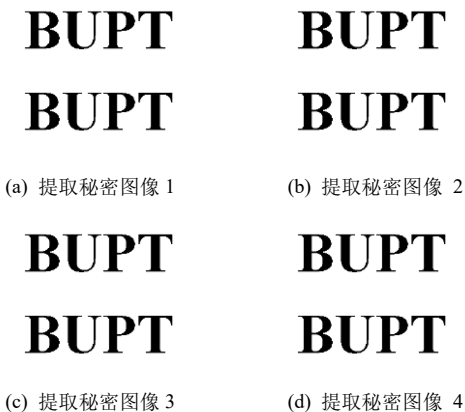


图 9 图 2(a)做为秘密图像 S, 提取 C_4^3 幅秘密图像

另图 2(a)为秘密图像 S, 采用 3.1 节中的算法生成 4 幅分享图像 (图 6), 从 4 幅分享图像中任选 3 幅图像, 可有 4 种组合, 对每种组合采用 3.2 节中的算法可提取 1 幅秘密图像, 共可提取 4 幅秘密图像, 如图 9 所示。



图 10 图 2(b)做为秘密图像 S, 提取 C_4^3 幅秘密图像

其中, 使用分享图像 1,2,3 提取图 9(a); 使用分享图像 1,2,4 提取图 9(b); 使用分享图像 1,3,4 提取图 9(c); 使用分享图像 2,3,4 提取图 9(d)。使用式 (8, 计算 4 幅提取的秘密图像 CDR 分别为: 1, 1, 1, 1。)

另图 2(b)为秘密图像 S, 采用 3.1 中的算法生成 4 幅分享图像, 从 4 幅分享图像中任选 3 幅图像, 可有 4 种组合, 对每种组合采用 3.2 节中的算法可提取 1 幅秘密图像, 共可提取 4 幅秘密图像, 如图 10 所示。使用式 (8), 计算 4 幅提取的秘密图像 CDR 分别为: 1, 1, 1, 1。

从图 9、10 和 CDR 结果可看出，对生成的分享图像，使用拉格朗日插值提取秘密图像，不会产生任何误码，提取正确率均为 100%。

4.3 本算法与已有算法的对比

表 2 列出本文提出的可视加密算法与已有可视加密(VC)算法的对比。

从表 2 可看出，本节提出的可视加密算法可实现任意(k,n)可视加密(VC)，并且当原始秘密图像为 $W \times H$ 时，生成的分享图像分辨率固定为 $2W \times H$ ，分享图像分辨率不随用户数 n 增加而变化。所以，在所有算法中，本文提出的可视加密算法拥有最好的性能。

5 结束语

本文提出一种基于 Shamir 秘密分享的高质量(k,n)可视加密算法。使用该算法，将一幅二进制秘密图像隐藏在 n 幅无意义分享图像中。从 n 幅无意义分享图像中，任意选取 k 幅分享图像，使用拉格朗日插值可提取秘密图像。

本算法的主要优点是应用 Shamir 秘密分享来实现(k,n)可视加密，该算法不需要码书，不会造成无限制的像素扩展。实验结果显示，该算法能实现(k,n)可视加密，提取秘密图像的提取正确率能保证 100%。

参考文献：

- [1] Naor M, Shamir A. Visual cryptography [C]// Proc of Workshop on the Theory and Application of Cryptographic Techniques. Italy: Springer, 1995: 1-12.
- [2] Ateniese G, Blundo C, Santis A, *et al.* Extended capabilities for visual cryptography [J]. Theoretical Computer Science, 2001, 250 (1-2): 143-161.
- [3] Liu Feng, Wu Chuankun, Lin Xijun. Step construction of visual cryptography schemes [J]. IEEE Trans on Information Forensics and Security, 2010, 5 (1): 27-38.
- [4] Hou Y C, Quan Zenyu, Liao H Y. New designs for friendly visual cryptography scheme [J]. International Journal of Information and Electronics Engineering, 2015, 5 (1): 15-20.
- [5] Yan Xuehu, Lu Yuliang, Chen Yuxin, *et al.* Secret image sharing based on

- error-correcting codes [C]// Proc of the 3rd IEEE International Conference on Big Data Security on Cloud. [S. l.] : Institute of Electrical and Electronics Engineers Inc, 2017: 86-89.
- [6] Kafri O, Keren E. Encryption of pictures and shapes by random grids [J]. Optics Letters. 1987, 12 (6): 377-379.
- [7] Chen T H, Tsao K H. Visual secret sharing by random grids revisited [J]. Pattern Recognition. 2009, 42 (9): 2203-2217.
- [8] Chen T H, Tsao K H. Threshold visual secret sharing by random grids [J]. Journal of Systems and Software, 2011, 84 (7): 1197-1208.
- [9] Wu Xiaotian, Sun Wei. Random grid-based visual secret sharing for general access structures with cheat-preventing ability [J]. Journal of Systems and Software, 2011, 85 (5): 1119-1134.
- [10] Wu X, Sun W. Visual secret sharing for general access structures by random grids [J]. Iet Information Security, 2012, 6 (4): 299-309.
- [11] Ou Duanhao, Wu Xiaotian, Dai Lu, *et al.* Improved tagged visual cryptograms by using random grids [J]. Lecture Notes in Computer Science, 2014, 8389: 79-94.
- [12] Yan Xuehu, Lu Yuliang, Liu Lintao, *et al.* Progressive visual secret sharing for general access structure with multiple decryptions [C]// Proc of the 8th International Conference on Information Technology in Medicine and Education. [S. l.] : Institute of Electrical and Electronics Engineers Inc, 2016: 668-673.
- [13] Rabari D K, Meghrajani Y K. Lock and key share-based random grid visual secret sharing scheme for grayscale and color images with two decoding options [C]// Proc of ISEA Asia Security and Privacy Conference. India: Institute of Electrical and Electronics Engineers Inc, 2017: 1-5.
- [14] Hou Y C, Quan Zenyu, Tsai C F, *et al.* Block-based progressive visual secret sharing [J]. Information Sciences, 2013, 233 (2): 290-304.
- [15] Hou Y C, Quan Zenyu, Tsai C F, *et al.* Cheating immune block-based progressive visual cryptography [J]. Lecture Notes in Computer Science, 2014, 8389: 95-108.
- [16] Roy R, Bandyopadhyay S, Kandar S, *et al.* A novel 3-4 image secret sharing scheme [C]// Proc of International Conference on Advances in Computing, Communications and Informatics. India: Institute of Electrical and Electronics Engineers Inc, 2015: 2072-2075.
- [17] Shamir A. How to share a secret [J]. Communications of the ACM, 1979, 22 (11): 612-613.